2 ИЗЧИЧИ О О ЧРЅПРВЗПРЪБЕР ИЧИЧЕТИЗЕ ЅБОБЧИЧЕР ИЗ В Е СТИЯ АКАДЕМИИ НАУК АРМЯНСКОЯ ССР

экффш-dшрыйши. финирансвой XVI, № 1, 1963 Физико-математические науки

ТЕОРИЯ УПРУГОСТИ

А. А. Баблоян, В. С. Тоноян

Изгиб двухслойной толстой круглой плиты осесимметричной нагрузкой

В статье рассматривается задача об изгибе двухслойной круглой толстой плиты произвольной осесимметричной нагрузкой, приложенной к ее основаниям.

На боковой поверхности заданы касательные напряжения и радиальные перемещения произвольным образом. Плита предполагается закрепленной так, что одна из окружностей на боковой поверхности или какая-либо точка на оси плиты не имеет осевых перемещений. Материалы слоев обладают различными модулями упругости и коэффициентами Пуассона. В пределах каждого слоя модуль упругости постоянный. Задача решается методом Фурье, исходя из основных уравнений теории упругости, без каких-либо допущений (см. работы [1-2]). В частности, решена задача изгиба круглой двухслойной толстой плиты, когда плита изгибается нормальной осесимметричной нагрузкой, приложенной к верхнему ее основанию, при отсутствии радиальных перемещений на всей боковой поверхности и осевых перемещений на нижией окружности этой поверхности. В частном случае, когда толщина одного из слоев равняется нулю, получается рещение задачи изгиба круглой толстой плиты под действием осесимметричной нагрузки, рассмотренной в работе Б. Л. Абрамяна и А. А. Баблояна [3].

Аналогичного типа задача была рассмотрена в работе А. П. Мелконяна [4], в которой по боковой поверхности плиты удовлетворены смягченные граничные условия.

§ 1. Общее решение задачи

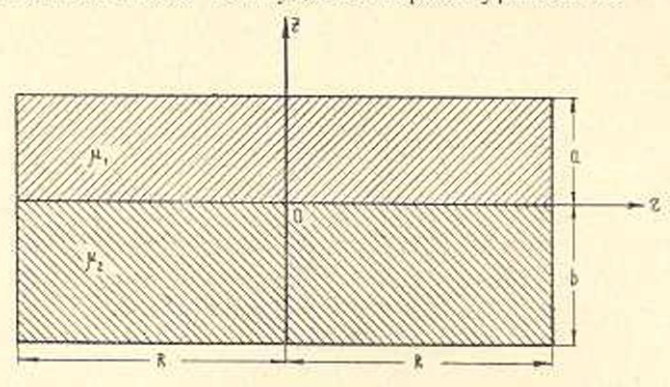
Пусть двухслойная толстая круглая плита (фиг. 1) с радиусом R и с толщинами слоев a и b нагружена произвольной осесимметричной нагрузкой, приложенной к ее основаниям. На боковой поверхности плиты задаются касательные напряжения и радиальные перемещения.

Пусть модуль сдвига верхнего слоя— μ_1 , нижнего— μ_2 , а коэффициенты Пуассона соответственно— ν_1 и ν_2 . Все величины, относящиеся к верхнему слою, будем обозначать индексом 1, к нижнему слою—индексом

 Цилиндрическую систему координат выбираем так, как показано на фиг. 1.

Обозначим через u, w перемещения частицы упругого тела соответственно вдоль радиуса и вдоль оси плиты, а через σ_r , σ_v , σ_z , τ_{re} компоненты напряжений.

Известно [5], что решение задачи осесимметричной деформации тела вращения сводится к определению функции напряжений $\Phi(r,z)$ (r—направление радиуса, z—направление оси вращения), которая в области осевого сечения тела удовлетворяет уравнению



Фиг. 1.

$$\nabla^2 \nabla^2 \Phi = \left(\frac{\partial^2}{\partial r^2} + \frac{1}{r} \frac{\partial}{\partial r} + \frac{\partial^2}{\partial r^2} \right) \left(\frac{\partial^2 \Phi}{\partial r^2} + \frac{1}{r} \frac{\partial \Phi}{\partial r} + \frac{\partial^2 \Phi}{\partial z^2} \right) = 0, \quad (1.1)$$

а на поверхности тела задается законом распределения напряжений или перемещений. Напряжения и перемещения при осесимметричной деформации выражаются через функцию напряжений $\Phi(r,z)$ соотношениями

$$\sigma_{r} = \frac{\partial}{\partial z} \left(\nabla \nabla^{2} \Phi - \frac{\partial^{2} \Phi}{\partial r^{2}} \right),$$

$$\sigma_{\psi} = \frac{\partial}{\partial z} \left(\nabla \nabla^{2} \Phi - \frac{1}{r} \frac{\partial \Phi}{\partial r} \right),$$

$$\sigma_{z} = \frac{\partial}{\partial z} \left[(2 - v) \nabla^{2} \Phi - \frac{\partial^{2} \Phi}{\partial z^{2}} \right],$$

$$\tau_{rz} = \frac{\partial}{\partial r} \left[(1 - v) \nabla^{2} \Phi - \frac{\partial^{2} \Phi}{\partial z^{2}} \right],$$

$$u = \frac{1}{2\mu} \frac{\partial^{2} \Phi}{\partial r \partial z},$$

$$w = \frac{1}{2\mu} \left[2 (1 - v) \nabla^{2} \Phi - \frac{\partial^{2} \Phi}{\partial z^{2}} \right].$$
(1.2)

Функцию $\Phi(r,z)$ ищем в виде

$$\Phi(r, z) = \begin{cases} \Phi_1(r, z) & (0 \leqslant r \leqslant R; & 0 \leqslant z \leqslant a) \\ \Phi_2(r, z) & (0 \leqslant r \leqslant R; & -b \leqslant z \leqslant 0). \end{cases}$$

$$(1.3)$$

Из (1.3) следует, что функции $\Phi_i(r,z)$ (i=1,2) должны удовлетворять уравнению (1.1). Решая уравнение (1.1) методом Фурье, для круглого сплошного цилиндра функции $\Phi_i(r,z)$ (i=1,2) получим ввиде [1-3]

$$\begin{split} &\Phi_{1}(r,z)=z\,(Ar^{2}+Bz^{2}+Cz)+\sum_{k=1}^{\infty}\left[E_{k}^{(1)}I_{0}\left(\lambda_{k}r\right)+\right.\\ &+G_{k}^{(1)}\lambda\,\,rI_{1}\left(\lambda_{k}r\right)\sin\lambda_{k}z+\sum_{k=1}^{\infty}\left(A_{k}^{(1)}\sin\mu_{k}z+B_{k}^{(1)}\cot\mu_{k}z+\right.\\ &+C_{k}^{(1)}\mu_{k}z\sin\mu_{k}z+D_{k}^{(1)}\mu_{k}z\cot\mu_{k}z\right)J_{0}\left(\mu_{k}r\right), \end{split} \tag{1.4} \\ &\Phi_{2}\left(r,z\right)=z\left(Dr^{2}+Ez^{2}+Gz\right)+\sum_{k=1}^{\infty}\left[E_{k}^{(2)}I_{0}\left(\gamma_{k}r\right)+\right.\\ &+G_{k}^{(2)}\left(\gamma_{k}rI_{1}\left(\gamma_{k}r\right)\right)\sin\gamma_{k}z+\sum_{k=1}^{\infty}\left(A_{k}^{(2)}\sin\mu_{k}z+B_{k}^{(2)}\cot\mu_{k}z+\right.\\ &+C_{k}^{(2)}\left(\mu_{k}z\sin\mu_{k}z+D_{k}^{(2)}\mu_{k}z\sin\mu_{k}z+B_{k}^{(2)}\cot\mu_{k}z+\right.\\ &+C_{k}^{(2)}\left(\mu_{k}z\sin\mu_{k}z+D_{k}^{(2)}\mu_{k}z\sin\mu_{k}z+D_{k}^{(2)}\mu_{k}z\cos\mu_{k}z\right)J_{0}\left(\mu_{k}z\right), \end{split}$$

где $J_{\pi}(x)$ — функция Бесселя n-го порядка первого рода с действительным аргументом, $I_n(x)$ — функция Бесселя первого рода от мнимого аргумента [8,9], $\lambda_k = \frac{k\pi}{a}$, $\gamma_k = \frac{k\pi}{b}$, μ_k — корни уравнения

$$J_1(xR) = 0.$$
 (1.5)

Рассмотрим напряженное состояние круглого цилиндра при следующих граничных условиях

$$u_{1}(R, z) = f_{1}^{(1)}(z) = \frac{g_{0}^{(1)}}{2} + \sum_{k=1}^{\infty} g_{k}^{(1)} \cos \lambda_{k} z$$

$$\tau_{rz}^{(1)}(R, z) = f_{2}^{(1)}(z) = \sum_{k=1}^{\infty} q_{k}^{(1)} \sin \lambda_{k} z$$

$$(0 < z < a)$$

$$u_{2}(R, z) = f_{1}^{(2)}(z) = \frac{g_{0}^{(2)}}{2} + \sum_{k=1}^{\infty} g_{k}^{(2)} \cos \gamma_{k} z$$

$$\tau_{rz}^{(2)}(R, z) = f_{2}^{(2)}(z) = \sum_{k=1}^{\infty} q_{k}^{(2)} \sin \gamma_{k} z$$

$$(-b < z < 0) \quad (1.6)$$

$$\begin{split} &\sigma_{z}^{(1)}\left(r,\,a\right)=f_{3}^{(1)}(r)=b_{0}+\sum_{k=1}^{\infty}b_{k}J_{0}\left(\mu_{k}r\right)\\ &\sigma_{rz}^{(1)}\left(r,\,a\right)=f_{4}^{(1)}(r)=\sum_{k=1}^{\infty}d_{k}J_{1}\left(\mu_{k}r\right)\\ &\sigma_{z}^{(2)}(r,\,-b)=f_{3}^{(2)}(r)=a_{0}+\sum_{k=1}^{\infty}a_{k}J_{0}\left(\mu_{k}r\right)\\ &\tau_{rz}^{(2)}\left(r,\,-b\right)=f_{M}^{(2)}(r)=\sum_{k=1}^{\infty}c_{k}J_{1}\left(\mu_{k}r\right)\\ \end{split} \tag{$0\leqslant r\leqslant R$}$$

Здесь мы допускаем, что функции $[f_i^O]$ кусочно-непрерывны и имеют ограниченное изменение в соответствующих интервалах. В силу симметричного распределения внешней нагрузки относительно оси z имеем также

$$\tau_{zz}^{(i)}(\vec{0},z) = u_i(0,z) = 0 \quad (i = 1, 2).$$
 (1.7)

Кроме того, функции $\Phi_l(r,z)$ (i=1,2) должны удовлетворять условиям сопряжения (контакта) [7]

$$u_1(r, 0) = u_2(r, 0)$$

 $w_1(r, 0) = w_2(r, 0)$
 $s_x^{(1)}(r, 0) = s_x^{(2)}(r, 0)$
 $\tau_{rz}^{(1)}(r, 0) = \tau_{rz}^{(2)}(r, 0)$
 $t_{rz}^{(1)}(r, 0) = t_{rz}^{(2)}(r, 0)$
(1.8)

Условиями (1.6), (1.7) и (1.8) функции напряжений и перемещения u_i (i=1,2) определяются полностью. В такой постановке перемещение w_i (i=1,2) определяется с точностью до постоянной G. Для определения последней предполагаем, что перемещение w_2 на окружности r=R, z=-b равно нулю

$$w_{z}(R, -b) = 0.$$
 (1.9)

Согласно (1.2) и (1.4) для определения напряжений и перемещений в верхнем слое плиты получим формулы

$$\begin{split} z_r^{(1)}\left(r,z\right) &= -2\left(1-2\mathbf{v_1}\right)A + 6\mathbf{v_1}B - \sum_{k=1}^{\infty}\lambda_k^3\cos\lambda_kz\left\{\left[E_k^{(1)} + \left(1-2\mathbf{v_1}\right)G_k^{(1)}\right]\right. \\ &\times I_0\left(\lambda_kr\right) - E_k^{(1)}\frac{I_1\left(\lambda_kr\right)}{\lambda_kr} + G_k^{(1)}\lambda_krI_1\left(\lambda_kr\right)\right\} + \\ &+ \sum_{k=1}^{\infty}\mu_k^3J_0\left(\mu_kr\right)\left[\left[A_k^{(1)} + \left(1+2\mathbf{v_1}\right)D_k^{(1)}\right] \cosh\mu_kz + \\ &+ \left[B_k^{(1)} + \left(1+2\mathbf{v_1}\right)C_k^{(1)}\right] \sin\mu_kz + C_k^{(1)}\mu_kz \cosh\mu_kz + D_k^{(1)}\mu_kz \sinh\mu_kz\right\} - \end{split}$$

$$\begin{split} -\sum_{k=1}^{\infty} \mu_k^2 \frac{J_1(\mu_k r)}{r} \{ (A_k^{(1)} + D_k^{(1)}) \operatorname{ch} \mu_k z + (B_k^{(1)} + C_k^{(1)}) \operatorname{sh} \mu_k z + C_k^{(1)} \mu_k z \operatorname{ch} \mu_k z + D_k^{(1)} \mu_k z \operatorname{sh} \mu_k z \}, \\ z_s^{(1)}(r,z) &= 4 \left(2 - v_1\right) A + 6 \left(1 - v_1\right) B + \sum_{k=1}^{\infty} \lambda_k^2 \cos \lambda_k z \times \\ \times \{ [E_k^{(1)} + 2 \left(2 - v_1\right) G_k^{(1)}] I_0(\lambda_k r) + G_k^{(1)} \lambda_k r I_1(\lambda_k r) \} + \\ + \sum_{k=1}^{\infty} \mu_k^2 J_0(\mu_k r) \{ [D_k^{(1)} (1 - 2v_1) - A_k^{(1)}] \operatorname{ch} \mu_k z + \\ + [C_k^{(1)} (1 - 2v_1) - B_k^{(1)}] \operatorname{sh} \mu_k z - D_k^{(1)} \mu_k z \operatorname{sh} \mu_k z - C_k^{(1)} \mu_k z \operatorname{ch} \mu_k z \}, \\ z_s^{(1)}(r,z) &= \sum_{k=1}^{\infty} \lambda_k^3 \operatorname{sin} \lambda_k z \{ [E_k^{(1)} + 2 \left(1 - v_1\right) G_k^{(1)}] I_1(\lambda_k r) + G_k^{(1)} \lambda_k r I_0(\lambda_k r) \} + \\ &+ \sum_{k=1}^{\infty} \mu_k^3 J_1(\mu_k r) \{ (A_k^{(1)} + 2v_1 D_k^{(1)}) \operatorname{sh} \mu_k z + (B_k^{(1)} + 2v_1 C_k^{(1)}) \operatorname{ch} \mu_k z + \\ &+ C_k^{(1)} \mu_k z \operatorname{sh} \mu_k z + D_k^{(1)} \mu_k z \operatorname{ch} \mu_k z \}, \end{aligned} \tag{1.10} \\ J_1(r,z) &= -\frac{1}{2\mu_1} \left\{ 2 A r + \sum_{k=1}^{\infty} \lambda_k^2 \cos \lambda_k z [E_k^{(1)} I_1(\lambda_k r) + G_k^{(1)} \lambda_k r I_0(\lambda_k r)] - \\ &- \sum_{k=1}^{\infty} \mu_k^2 J_1(\mu_k r) \left[(A_k^{(1)} + D_k^{(1)}) \operatorname{ch} \mu_k z + (B_k^{(1)} + C_k^{(1)}) \operatorname{sh} \mu_k z + \\ &+ C_k^{(1)} \mu_k z \operatorname{ch} \mu_k z + D_k^{(1)} \mu_k z \operatorname{sh} \mu_k z \right\} \right\}, \\ w_1(r,z) &= \frac{1}{2\nu_1} \left\{ \left[8 \left(1 - v_1\right) A + 6 \left(1 - 2v_1\right) B \right] z + 2 \left(1 - 2v_1\right) C + \\ &+ \sum_{k=1}^{\infty} \lambda_k^2 \operatorname{sin} \lambda_k z \left[\left[E_k^{(1)} + 4 \left(1 - v_1\right) G_k^{(1)} \right] I_0(\lambda_k r) + G_k^{(1)} \lambda_k r I_1(\lambda_k r) \right] + \\ &+ \sum_{k=1}^{\infty} \mu_k^2 J_0(\mu_k r) \left[\left[2 \left(1 - 2v_1\right) D_k^{(1)} - A_k^{(1)} \right] \operatorname{sh} \mu_k z + \\ &+ \left[2 \left(1 - 2v_1\right) C_k^{(1)} - B_k^{(1)} \right] \operatorname{ch} \mu_k z - C_k^{(1)} \mu_k z \operatorname{sh} \mu_k z - D_k^{(1)} \mu_k z \operatorname{ch} \mu_k z \right\} \right\}. \end{aligned}$$

Аналогичным образом получим также формулы для определения напряжений и перемещений в нижнем слое плиты.

Легко видеть, что условия (1.7) удовлетворяются тождественно. Удовлетворяя условиям (1.6) и (1.8), для определения постоянных интегрирования, входящих в выражение (1.4), получаем следующие соотношения

² Известия АН, серия физ.-мат. наук, № 1

 $A = -\frac{\mu_1 g_0^{(1)}}{2R}$, $D = -\frac{\mu_2 g_0^{(2)}}{2R}$

$$4 (2 - v_1) A + 6 (1 - v_1) B + 2 \sum_{k=1}^{\infty} \frac{(-1)^k q_k^{(1)}}{\lambda_k} = b_0$$

$$4 (2 - v_2) D + 6 (1 - v_2) E + 2 \sum_{k=1}^{\infty} \frac{(-1)^k q_k^{(2)}}{\gamma_k} = a_0$$

$$\frac{1 - 2v_1}{v_1} C = \frac{1 - 2v_2}{v_2} G$$

$$G_k^{(1)} = \frac{1}{2 (1 - v_1)} \frac{q_k^{(1)} + 2v_1 \lambda_k g_k^{(1)}}{\lambda_k^2 I_1 (\lambda_k R)}$$

$$G_k^{(2)} = \frac{1}{2 (1 - v_2)} \frac{q_k^{(2)} + 2v_2 \gamma_k g_k^{(2)}}{\gamma_k^2 I_1 (\lambda_k R)}$$

$$E_k^{(1)} I_1 (\lambda_k R) + G_k^{(2)} \lambda_k R I_0 (\lambda_k R) = -\frac{2v_1 g_k^{(1)}}{\lambda_k^2}$$

$$E_k^{(2)} I_1 (\gamma_k R) + G_k^{(2)} \gamma_k R I_0 (\gamma_k R) = -\frac{2v_2 g_k^{(2)}}{\gamma_k^2}$$

$$E_k^{(2)} I_1 (\gamma_k R) + G_k^{(2)} \gamma_k R I_0 (\gamma_k R) = -\frac{2v_2 g_k^{(2)}}{\gamma_k^2}$$

$$2 (1 - 2v_1) C_p^{(1)} - B_p^{(1)} = \frac{p_1}{p^2} [2 (1 - 2v_2) C_p^{(2)} - B_p^{(2)}]$$

$$(A_p^{(1)} + 2v_1 C_p^{(1)} = B_p^{(2)} + 2v_2 C_p^{(2)}$$

$$(A_p^{(1)} + 2v_1 D_p^{(1)}) \sin v_p a + (B_p^{(1)} + 2v_1 C_p^{(1)}) \sin v_p a + C_p^{(1)} v_p a \sin v_p a + D_p^{(1)} v_p a \cos v_p a = \frac{d_p}{v_p^3}$$

$$- (A_p^{(2)} + 2v_2 D_p^{(2)}) \sin v_p b + (B_p^{(2)} + 2v_2 C_p^{(2)}) \cos v_p b + C_p^{(2)} v_p b \sin v_p b - D_p^{(2)} v_p b \cos v_p a - D_p^{(1)} v_p a \sin v_p a = \frac{M_p}{v_p^3}$$

$$[D_p^{(1)} (1 - 2v_1) - A_p^{(1)}] \cos v_p a - D_p^{(1)} v_p a \sin v_p a = \frac{M_p}{v_p^3}$$

$$[D_p^{(2)} (1 - 2v_2) - A_p^{(2)}] \sin v_p b - [C_p^{(2)} (1 - 2v_2) - B_p^{(2)}] \sin v_p b + C_p^{(2)} v_p b \cos v_p b - D_p^{(2)} v_p b \sin v_p b = \frac{N_p}{v_p^3}$$

$$\frac{1}{v_1} (A_p^{(1)} + D_p^{(1)}) - \frac{1}{v_2} (A_p^{(2)} + D_p^{(2)}) = \frac{F_p}{v_p^3}$$

$$D_p^{(1)} (1 - 2v_1) - A_p^{(1)} - D_p^{(2)} (1 - 2v_2) + A_p^{(2)} = \frac{H_p}{v_p^3}$$

где введены следующие обозначения

$$M_{p} = b_{p} + \frac{2}{RJ_{0}(\mu_{p}R)} \sum_{k=1}^{\infty} \frac{(-1)^{k+1} \lambda_{k} q_{k}^{(1)}}{\lambda_{k}^{2} + \mu_{p}^{2}} + \frac{2\mu_{p}^{2}}{(1 - \nu_{1})RJ_{0}(\mu_{p}R)} \sum_{k=1}^{\infty} \frac{(-1)^{k+1} \lambda_{k} [q_{k}^{(1)} + 2\mu_{1}\lambda_{k}g_{k}^{(1)}]}{(\lambda_{k}^{2} + \mu_{p}^{2})^{2}},$$

$$N_{p} = a_{p} + \frac{2}{RJ_{0}(\mu_{p}R)} \sum_{k=1}^{\infty} \frac{(-1)^{k+1} \gamma_{k} g_{k}^{(2)}}{\gamma_{k}^{2} + \mu_{p}^{2}} + \frac{2\mu_{p}^{2}}{(1 - \nu_{2})RJ_{0}(\mu_{p}R)} \sum_{k=1}^{\infty} \frac{(-1)^{k+1} \gamma_{k} [q_{k}^{(2)} + 2\mu_{2}\gamma_{k}g_{k}^{(2)}]}{(\gamma_{k}^{2} + \mu_{p}^{2})^{2}},$$

$$F_{p} = \frac{4}{J_{0}(\mu_{p}R)} \left[\frac{D}{\mu_{2}} - \frac{A}{\mu_{1}} \right] + \frac{4\mu_{p}^{2}}{RJ_{0}(\mu_{p}R)} \sum_{k=1}^{\infty} \left[\frac{g_{k}^{(1)}}{\lambda_{k}^{2} + \mu_{p}^{2}} - \frac{g_{k}^{(2)}}{\gamma_{k}^{2} + \mu_{p}^{2}} \right] + \frac{2\mu_{p}^{2}}{(1 - \nu_{1})\mu_{1}RJ_{0}(\mu_{p}R)} \sum_{k=1}^{\infty} \frac{\lambda_{k} [q_{k}^{(1)} + 2\mu_{1}\lambda_{k}g_{k}^{(1)}]}{(\lambda_{k}^{2} + \mu_{p}^{2})^{2}} - \frac{2\mu_{p}^{2}}{(1 - \nu_{2})\mu_{2}RJ_{0}(\mu_{p}R)} \sum_{k=1}^{\infty} \frac{\gamma_{k} [q_{k}^{(2)} + 2\mu_{2}\gamma_{k}g_{k}^{(2)}]}{(\gamma_{k}^{2} + \mu_{p}^{2})^{2}},$$

$$H_{p} = \frac{2}{RJ_{0}(\mu_{p}R)} \sum_{k=1}^{\infty} \left[\frac{\gamma_{k}q_{k}^{(2)}}{\gamma_{k}^{2} + \mu_{p}^{2}} - \frac{\lambda_{k}q_{k}^{(1)}}{\lambda_{k}^{2} + \mu_{p}^{2}} \right] + \frac{2\mu_{p}^{2}}{(1 - \nu_{2})RJ_{0}(\mu_{p}R)} \sum_{k=1}^{\infty} \frac{\gamma_{k} [q_{k}^{(2)} + 2\mu_{2}\gamma_{k}g_{k}^{(2)}]}{(\gamma_{k}^{2} + \mu_{p}^{2})^{2}}.$$

$$- \frac{2\mu_{p}^{2}}{(1 - \nu_{1})RJ_{0}(\mu_{p}R)} \sum_{k=1}^{\infty} \frac{\lambda_{k} [q_{k}^{(1)} + 2\mu_{1}\lambda_{k}g_{k}^{(1)}]}{(\lambda_{k}^{2} + \mu_{p}^{2})^{2}}.$$

При получении этих соотношений были использованы разложения Фурье-Дини [9] функций $I_0(\lambda_k r)$ и $rI_1(\lambda_k r)$ по функциям $\{J_0(\mu_k r)\}$ [1], где μ_k —корни уравнения (1.5).

Из упомянутых выше соотношений получается также следующее равенство

$$a_0 - b_0 = \frac{4}{R} \sum_{k=1}^{\infty} \left[\frac{q_k^{(1)}}{b_k} - \frac{q_k^{(2)}}{\gamma_k} \right],$$
 (1.15)

которое является уравнением равновесия сил, действующих вдоль оси плиты.

Из соотношений (1.11) и (1.12) определяем коэффициенты A, B, D, E, $G_k^{(1)}$, $E_k^{(1)}$, $G_k^{(2)}$, $E_k^{(2)}$, а постоянная G определяется из условия (1.9). Из соотношений (1.13) определяются остальные неизвестные.

Подставляя найденные значения постоянных интегрирования в (1.10), получим формулы для определения напряжений и перемещений.

§ 2. Численный пример

Рассмотрим изгиб круглой двухслойной плиты с равными толщинами слоев (a=b) и равными коэффициентами Пуассона $(\gamma_1=\gamma_2)$, когда плита изгибается нормальной осесниметричной нагрузкой, приложенной к верхнему ее основанию, при отсутствии радиальных перемещений на всей боковой поверхности и осевых перемещений на нижней окружности (r=R, z=-a) этой поверхности. Предполагается, что нормальная нагрузка, приложенная на верхнем основании плиты, уравновещивается касательными напряжениями, действующими на боковой поверхности только нижнего слоя и распределенными по закону синуса. Из сказанного следует, что граничные условия данной задачи будут иметь вид

$$\begin{split} &u_{1}\left(R,z\right)=f_{1}^{(1)}(z)=0\\ &z_{rz}^{(1)}\left(R,z\right)=f_{2}^{(1)}(z)=0\\ &u_{2}\left(R,z\right)=f_{1}^{(2)}(z)=0\\ &z_{rz}^{(2)}\left(R,z\right)=f_{2}^{(2)}(z)=H\sin\frac{\pi z}{a}\\ &z_{rz}^{(1)}(r,a)=f_{3}^{(1)}\left(r\right)=\begin{cases} -q & rz \end{cases}\\ &z_{rz}^{(1)}\left(r,a\right)=f_{4}^{(1)}\left(r\right)=0\\ &z_{rz}^{(2)}\left(r,a\right)=f_{4}^{(2)}\left(r\right)=0\\ &z_{rz}^{(2)}\left(r,-a\right)=f_{4}^{(2)}\left(r\right)=0\\ &z_{rz}^{(2)}\left(r,-a\right)=f_{4}^{(2)}\left(r\right)=0\\ &z_{rz}^{(2)}\left(r,-a\right)=0, \end{split}$$

тле постоянная величина

$$H = -\frac{Q}{4Rb} \tag{2.2}$$

определяется из условия равновесия (1.15). При таких условиях имеем

$$a_k = c_k = d_k = g_k^{(1)} = g_k^{(2)} = q_q^{(1)} = 0,$$

 $a_0 = g_0^{(1)} = g_0^{(2)} = 0,$
 $b_0 = -\frac{Q}{\pi R^2}, \quad b_k = -\frac{2QJ_1(\mu_k \epsilon)}{\pi R^2 J_0^2(\mu_k R) \mu_k \epsilon},$ (2.3)

$$q_1^{(2)} = H$$
, $q_k^{(2)} = 0$ $k > 2$,

где введено обозначение

$$Q = q\pi z^2, \qquad (2.4)$$

При $\epsilon \to 0$ имеем $\lim q\pi\epsilon^2 = Q_0$, что имеет место, когда илита изгибается сосредоточенной силой Qo, приложенной в центре ее верхнего основания.

Подставляя (2.3) в (1.11) и (1.12), получим

$$A = 0, D = 0,$$

$$B = -\frac{Q}{6(1 - v_1)\pi R^2}, E = -\frac{Q}{12(1 - v_1)\pi R^2}, C = \frac{p_1}{p_2}G \quad (2.5)$$

$$G_1^{(2)} = -\frac{Q}{8(1 - v_1)\pi R^{2d}}, G_2^{(2)} = 0 \quad k > 2$$

$$\frac{Q}{6(1-v_1)\pi R^2}, \quad E = \frac{Q}{12(1-v_1)\pi R^2}, \quad C = \frac{\mu_1}{\mu_2}G \quad (2.5)$$

$$\begin{cases}
G_1^{(2)} = -\frac{Q}{8(1-v_1)aR\gamma_1^3 I_1(\gamma_1 R)}, & G_k^{(2)} = 0 \quad k > 2 \\
E_1^{(2)} = \frac{QI_0(\gamma_1 R)}{8(1-v_1)a\gamma_1^2 I_1^2(\gamma_1 R)}, & E_k^{(2)} = 0 \quad k > 2
\end{cases}$$

$$G_k^{(1)} = 0, \quad E_k^{(1)} = 0.$$

Подставляя (2.3) в (1.14), получим

$$\begin{cases}
M_p = b_p \\
N_o = H_p = -\frac{Q\pi}{2R^2a^*J_0(\mu_p R)(\gamma_1^2 + \mu_p^2)} \left[1 + \frac{1}{1 - \nu_1} - \frac{\mu_p^2}{\gamma_1^2 + \mu_p^2} \right] \\
F_p = \frac{Q\pi\mu_p^2}{2\mu_2(1 - \nu_1)R^2a^2J_0(\mu_p R)(\gamma_1^2 + \mu_p^2)^2}
\end{cases} (2.7)$$

На основании (2.3) и (2.7) система линейных алгебранческих уравнений (1.13) принимает вид

$$\begin{split} 2\left(1-2\imath_{1}\right)C_{p}^{(1)}-B_{p}^{(1)}&=\frac{\mu_{1}}{\mu_{2}}\left[2\left(1-2\imath_{1}\right)C_{p}^{(2)}-B_{p}^{(2)}\right]\\ B_{p}^{(1)}+2\imath_{1}C_{p}^{(1)}&=B_{p}^{(2)}+2\imath_{1}C_{p}^{(2)}\\ \left(A_{p}^{(1)}+2\imath_{1}D_{p}^{(1)}\right)\sh\mu_{p}\,a+\left(B_{p}^{(1)}+2\imath_{1}C_{p}^{(1)}\right)\ch\mu_{p}\,a+\\ &+\mu_{p}\,a\left(C_{p}^{(1)}\sh\mu_{p}\,a+D_{p}^{(1)}\ch\mu_{p}\,a\right)=0\\ -\left(A_{p}^{(2)}+2\imath_{1}D_{p}^{(2)}\right)\sh\mu_{p}\,a+\left(B_{p}^{(2)}+2\imath_{1}C_{p}^{(2)}\right)\ch\mu_{p}\,a+\\ &+\mu_{p}\,a\left(C_{p}^{(2)}\sh\mu_{p}\,a-D_{p}^{(3)}\ch\mu_{p}\,a\right)=0\\ \left[D_{p}^{(1)}\left(1-2\imath_{1}\right)-A_{p}^{(1)}\right]\ch\mu_{p}\,a+\left[C_{p}^{(1)}\left(1-2\imath_{1}\right)-B_{p}^{(1)}\right]\sh\mu_{p}\,a-\\ &-\mu_{p}\,a\left(C_{p}^{(2)}\ch\mu_{p}\,a+D_{p}^{(3)}\sh\mu_{p}\,a\right)=\frac{b_{p}}{\mu_{p}^{3}}\\ \left[D_{p}^{(2)}\left(1-2\imath_{1}\right)-A_{p}^{(2)}\right]\ch\mu_{p}\,a-\left[C_{p}^{(2)}\left(1-2\imath_{1}\right)-B_{p}^{(2)}\right]\sh\mu_{p}\,a+\\ \left[D_{p}^{(2)}\left(1-2\imath_{1}\right)-A_{p}^{(2)}\right]\ch\mu_{p}\,a-\left[C_{p}^{(2)}\left(1-2\imath_{1}\right)-B_{p}^{(2)}\right]\sh\mu_{p}\,a+\\ \left[D_{p}^{(2)}\left(1-2\imath_{1}\right)-A_{p}^{(2)}\right]\ch\mu_{p}\,a-\left[C_{p}^{(2)}\left(1-2\imath_{1}\right)-B_{p}^{(2)}\right]\sh\mu_{p}\,a+\\ \end{array}$$

$$\begin{split} &+\mu_{\rho}\,a\,\left(C_{\rho}^{(2)}\mathrm{ch}\,\mu_{\rho}\,a-D_{\rho}^{(2)}\mathrm{sh}\,\mu_{\rho}\,a\right)=\frac{N_{\rho}}{\mu_{\rho}^{3}}\\ &-\frac{1}{\mu_{1}}\left(A_{\rho}^{(1)}+D_{\rho}^{(1)}\right)-\frac{1}{\mu_{2}}\left(A_{\rho}^{(2)}+D_{\rho}^{(2)}\right)=\frac{F_{\rho}}{\mu_{\rho}^{3}}\\ &-D_{\rho}^{(1)}\left(1-2\nu_{1}\right)-A_{\rho}^{(1)}-D_{\rho}^{(2)}\left(1-2\nu_{1}\right)+A_{\rho}^{(2)}=\frac{H_{\rho}}{\mu_{\rho}^{3}}. \end{split}$$

Для решения этой системы введем новые неизвестные следующим образом (что можно сделать также в общем случае)

$$\begin{split} [D_p^{(1)} \left(1-2 \mathbf{v}_1\right) - A_p^{(1)} \right] & \mathrm{ch} \ \mathbf{v}_p \ a + \left[C_p^{(1)} \left(1-2 \mathbf{v}_1\right) - B_p^{(1)} \right] \mathrm{sh} \ \mathbf{v}_p \ a - \\ & - \mathbf{v}_p \ a \left(C_p^{(1)} \ \mathrm{ch} \ \mathbf{v}_p \ a + D_p^{(1)} \ \mathrm{sh} \ \mathbf{v}_p \ a \right) = \frac{X_p^{(1)}}{\mathbf{v}_p^4 a} \\ & \left(A_p^{(1)} + 2 \mathbf{v}_1 D_p^{(1)} \right) \mathrm{sh} \ \mathbf{v}_p \ a + \left(B_p^{(1)} + 2 \mathbf{v}_1 C_p^{(1)} \right) \mathrm{ch} \ \mathbf{v}_p \ a + \\ & + \mathbf{v}_p \ a \left(C_p^{(1)} \ \mathrm{sh} \ \mathbf{v}_p \ a + D_p^{(1)} \ \mathrm{ch} \ \mathbf{v}_p \ a \right) = \frac{Y_p^{(1)}}{\mathbf{v}_p^4 a} \\ & \left[D_p^{(2)} \left(1 - 2 \mathbf{v}_1 \right) - A_p^{(2)} \right] \mathrm{ch} \ \mathbf{v}_p \ a - \left[C_p^{(2)} \left(1 - 2 \mathbf{v}_1 \right) - B_p^{(2)} \right] \mathrm{sh} \ \mathbf{v}_p \ a + \\ & + \mathbf{v}_p \ a \left(C_p^{(2)} \ \mathrm{ch} \ \mathbf{v}_p \ a - D_p^{(2)} \ \mathrm{sh} \ \mathbf{v}_p \ a \right) = \frac{X_p^{(2)}}{\mathbf{v}_p^4 a} \\ & \left(A_p^{(2)} + 2 \mathbf{v}_1 D_p^{(2)} \right) \mathrm{sh} \ \mathbf{v}_p \ a + \left(B_p^{(2)} + 2 \mathbf{v}_1 C_p^{(2)} \right) \mathrm{ch} \ \mathbf{v}_p \ a + \\ & + \mathbf{v}_p \ a \left(C_p^{(2)} \ \mathrm{sh} \ \mathbf{v}_p \ a - D_p^{(2)} \ \mathrm{ch} \ \mathbf{v}_p \ a \right) = \frac{Y_p^{(2)}}{\mathbf{v}_p^4 a} \\ & D_p^{(1)} \left(1 - 2 \mathbf{v}_1 \right) - A_p^{(1)} = \frac{Z_p^{(1)}}{\mathbf{v}_p^4 a} \\ & D_p^{(1)} \left(1 - 2 \mathbf{v}_1 \right) - A_p^{(1)} = \frac{Z_p^{(2)}}{\mathbf{v}_p^4 a} \\ & D_p^{(2)} \left(1 - 2 \mathbf{v}_1 \right) - A_p^{(2)} = \frac{Z_p^{(2)}}{\mathbf{v}_p^4 a} \\ & D_p^{(2)} \left(1 - 2 \mathbf{v}_1 \right) - A_p^{(2)} = \frac{U_p^{(2)}}{\mathbf{v}_p^4 a} \\ & D_p^{(2)} \left(1 - 2 \mathbf{v}_1 \right) - A_p^{(2)} = \frac{U_p^{(2)}}{\mathbf{v}_p^4 a} \\ & D_p^{(2)} \left(1 - 2 \mathbf{v}_1 \right) - A_p^{(2)} = \frac{U_p^{(2)}}{\mathbf{v}_p^4 a} \\ & D_p^{(2)} \left(1 - 2 \mathbf{v}_1 \right) - A_p^{(2)} = \frac{U_p^{(2)}}{\mathbf{v}_p^4 a} \\ & D_p^{(2)} \left(1 - 2 \mathbf{v}_1 \right) - A_p^{(2)} = \frac{U_p^{(2)}}{\mathbf{v}_p^4 a} \\ & D_p^{(2)} \left(1 - 2 \mathbf{v}_1 \right) - A_p^{(2)} = \frac{U_p^{(2)}}{\mathbf{v}_p^4 a} \\ & D_p^{(2)} \left(1 - 2 \mathbf{v}_1 \right) - A_p^{(2)} = \frac{U_p^{(2)}}{\mathbf{v}_p^4 a} \\ & D_p^{(2)} \left(1 - 2 \mathbf{v}_1 \right) - A_p^{(2)} \left(1 - 2 \mathbf{v}_1 \right) - A_p^{(2)} \right) + \frac{U_p^{(2)}}{\mathbf{v}_p^4 a} \\ & D_p^{(2)} \left(1 - 2 \mathbf{v}_1 \right) - A_p^{(2)} \left(1 - 2 \mathbf{v}_1 \right) -$$

При этом система уравнений (2.8) примет вид

$$\begin{cases} Z_{p}^{(1)} = Z_{p}^{(2)} \\ Y_{p}^{(1)} = Y_{p}^{(2)} = 0 \\ X_{p}^{(1)} = \mu_{p} a b_{p} \\ X_{p}^{(2)} = \mu_{p} a N_{p} \\ U_{p}^{(1)} - U_{p}^{(2)} = \mu_{p} a H_{p} \end{cases}$$

$$2 (1 - \nu_{1}) C_{p}^{(1)} - \frac{Z_{p}^{(1)}}{\mu_{p}^{4} a} = \frac{\mu_{1}}{\mu_{2}} \left[2 (1 - \nu_{1}) C_{p}^{(2)} - \frac{1}{\mu_{p}^{4} a} Z_{p}^{(2)} \right]$$

$$2 (1 - \nu_{1}) D_{p}^{(1)} - \frac{U_{p}^{(1)}}{\mu_{p}^{4} a} = \frac{\mu_{1}}{\mu_{2}} \left[2 (1 - \nu_{1}) D_{p}^{(2)} - \frac{1}{\mu_{p}^{4} a} U_{p}^{(2)} \right] .$$

Из этой системы найдем значения неизвестных коэффициентов $U_p^{(2)}$ и $Z_p^{(2)}$

$$\begin{split} U_p^{(2)} &= \frac{1}{\left[(1-2v_1) + \left(\frac{\mu_p \, a}{\sinh \mu_p \, a} \right)^2 \right]^2 - 36 \, (1-v_1)^2 \left[\coth^2 \mu_p \, a - \frac{(\mu_p \, a)^2}{\sinh^4 \mu_p \, a} \right]} \, \times \\ &\times \left\{ (N_p - 2b_p) \left[12 \, (1-v_1)^2 \, \frac{\mu_p \, a}{\sinh \mu_p \, a} \, (1+\mu_p \, a \, \coth \mu_p \, a) \, \times \right. \\ &\times \left(\coth \mu_p \, a - \frac{\mu_p \, a}{\sinh^2 \mu_p \, a} \right) - 2 \, (1-v_1) \, \frac{(\mu_p \, a)^2}{\sinh \mu_p \, a} \left((1-2v_1) + \left(\frac{\mu_p \, a}{\sinh \mu_p \, a} \right)^2 \right) \right] + \\ &+ H_p \left[24 \, (1-v_1)^2 \left(\mu_p \, a \, \coth^2 \mu_p \, a - \frac{(\mu_p \, a)^3}{\sinh^4 \mu_p \, a} \right) - \right. \\ &- 2\mu_p \, a \left((1-2v_1) + \left(\frac{\mu_p \, a}{\sinh \mu_p \, a} \right)^2 \right)^2 \right] + F_p \mu_1 2 \mu_p \, a \, \left[1 - \left(\frac{\mu_p \, a}{\sin \mu_p \, a} \right)^2 \right] \times \\ &\times \left[(1-2v_1) + \left(\frac{\mu_p \, a}{\sinh \mu_p \, a} \right)^2 \right] \right\} \quad (2.11) \\ Z_p^{(2)} &= \frac{1}{\left[(1-2v_1) + \left(\frac{\mu_p \, a}{\sinh \mu_p \, a} \right)^2 \right]^2 - 36 \, (1-v_1)^2 \left[\, \coth^2 \mu_p \, a - \frac{(\mu_p \, a)^2}{\sinh^4 \mu_p \, a} \right]} \, \times \\ &\times \left\{ (N_p - 2b_p) \left[2 \, (1-v_1) \left(\frac{\mu_p \, a}{\sinh \mu_p \, a} + \frac{(\mu_p \, a)^2}{\sinh \mu_p \, a} \, \coth \mu_p \, a \right) \times \right. \\ &\times \left. \left((1-2v_1) + \left(\frac{\mu_p \, a}{\sinh \mu_p \, a} \right)^2 \right) - 12 \, (1-v_1)^2 \, \frac{(\mu_p \, a)^2}{\sinh \mu_p \, a} \times \right. \\ &\times \left. \left(\coth \mu_p \, a + \frac{\mu_p \, a}{\sinh \mu_p \, a} \right) \right] - H_p 8 \, (1-v_1) \left[\mu_p \, a \, \coth \mu_p \, a + \left(\frac{\mu_p \, a}{\sinh \mu_p \, a} \right)^2 \right] \times \end{split}$$

$$\times \left[(1 - 2\nu_1) + \left(\frac{\mu_p a}{\sinh \mu_p a} \right)^2 \right] + F_p \mu_1 12 \left(1 - \nu_1 \right) \left[\mu_p a \coth \mu_p a + \left(\frac{\mu_p a}{\sinh \mu_p a} \right)^2 \right] \left[1 - \left(\frac{\mu_p a}{\sinh \mu_p a} \right)^2 \right] \right\}.$$

Из остальных шести неизвестных коэффициентов некоторые определяются непосредственно, а другие выражаются через коэффициенты $U_n^{(2)}$ и $Z_n^{(2)}$.

Неизвестные постоянные $A_p^{(1)}$, $B_p^{(1)}$, $C_p^{(1)}$, $D_p^{(1)}$, $A_p^{(2)}$, $B_p^{(2)}$, $C_p^{(2)}$ и $D_p^{(2)}$ выражаются через неизвестные $U_p^{(2)}$ и $Z_p^{(2)}$

$$A_{p}^{(1)} = (1 - 2v_{1}) D_{p}^{(1)} - \frac{H_{p}}{v_{p}^{3}} - \frac{U_{p}^{(2)}}{v_{p}^{4}a}$$

$$B_{p}^{(1)} = \frac{Z_{p}^{(2)}}{v_{p}^{4}a} - 2v_{1}C_{p}^{(1)}$$

$$C_{p}^{(1)} = \frac{1}{v_{p}^{4}a\left[\sinh^{2}\nu_{p}a - (\nu_{p}a)^{2}\right]} \left\{ \nu_{p}ab_{p}\left(\sinh\nu_{p}a + \nu_{p}a\cosh\nu_{p}a\right) - \nu_{p}aH_{p}\left(\sinh\nu_{p}a\cosh\nu_{p}a + \nu_{p}a\right) - U_{p}^{(2)}\left(\sinh\nu_{p}a\cosh\nu_{p}a + \nu_{p}a\right) + Z_{p}^{(2)}\sinh^{2}\nu_{p}a\right\}$$

$$D_{p}^{(1)} = \frac{1}{v_{p}^{4}a\left[\sinh^{2}\nu_{p}a - (\nu_{p}a)^{2}\right]} \left\{ -(\nu_{p}a)^{2}b_{p}\sinh\nu_{p}a + \nu_{p}aH_{p}\sinh^{2}\nu_{p}a + U_{p}^{(2)}\sinh^{2}\nu_{p}a - Z_{p}^{(2)}\left(\sinh\nu_{p}a\cosh\nu_{p}a - \nu_{p}a\right)\right\}$$

$$A_{p}^{(2)} = (1 - 2v_{1})D_{p}^{(2)} - \frac{U_{p}^{(2)}}{\nu_{p}^{4}a}$$

$$B_{p}^{(2)} = \frac{Z_{p}^{(2)}}{\nu_{p}^{4}a} - 2v_{2}C_{p}^{(2)}$$

$$C_{p}^{(2)} = \frac{1}{\nu_{p}^{4}a}\left[-\nu_{p}a\cosh\nu_{p}a + \nu_{p}a\cosh\nu_{p}a\right] + \nu_{p}a\cosh\nu_{p}a + \nu_{p}a\cosh\nu_{p}a\right\}$$

$$\begin{split} C_p^{(2)} &= \frac{1}{\mu_p^4 \, a \, [\, \mathrm{sh}^2 \, \mu_p \, a \, - \, (\mu_p \, a)^2]} \, \{ - \, \mu_p \, a \, N_p \, (\, \mathrm{sh} \, \mu_p \, a \, + \, \mu_p \, a \, \mathrm{ch} \, \mu_p \, a) \, + \\ &\quad + \, U_p^{(2)} \, (\, \mathrm{sh} \, \mu_p \, a \, \mathrm{ch} \, \mu_p \, a \, + \, \mu_p \, a) \, + \, Z_p^{(2)} \, \mathrm{sh}^2 \, \mu_p \, a \} \\ \\ D_p^{(2)} &= \frac{1}{\mu_p^4 \, a \, [\, \mathrm{sh} \, \mu_p \, a \, - \, (\mu_p \, a)^2]} \, \, [- \, (\mu_p \, a)^2 \, N_p \, \mathrm{sh} \, \mu_p \, a \, + \, A_p \, a) \, + \, A_p^{(2)} \, (\mu_p \, a)^2 \, N_p \, \mathrm{sh} \, \mu_p \, a \, + \, A_p^{(2)} \, \mu_p \,$$

$$\mu_{\rho}^{(2)} a \left[\sin \mu_{\rho} a - (\mu_{\rho} a)^2 \right] + U_{\rho}^{(2)} \sinh^2 \mu_{\rho} a + Z_{\rho}^{(2)} \left[\sin \mu_{\rho} a \cosh \mu_{\rho} a - \mu_{\rho} a \right].$$

Подставляя эти значения и значения (2.5) и (2.6) в выражения (1.10), для определения нормального напряжения $\sigma_r^{(i)}$ и осевого перемещения w_t (t=1, 2) получим следующие формулы

$$\begin{split} \mathbf{s}_{l}^{(1)}(r,z) &= -\frac{v_{1}Q}{(1-v_{1})^{\frac{1}{2}}R^{2}} + \sum_{k=1}^{\infty} \frac{J_{0}\left(\mu_{k}r\right)}{\mu_{k}a\left[1-\left(\frac{\mu_{k}a}{\sinh\mu_{k}a}\right)^{2}\right]} \times \\ &\times \left\{\mu_{k}a\,b_{k}\left[\frac{\sinh\mu_{k}z}{\sinh\mu_{k}a} - 2\mu_{k}a\,\frac{\cosh\mu_{k}z}{\sinh\mu_{k}a} + \mu_{k}\,a\,\cosh\mu_{k}a\,\frac{\sinh\mu_{k}z}{\sinh\mu_{k}a}\right] + \\ &+ \mu_{k}aH_{k}\left[\frac{\sinh\mu_{k}\left(a-z\right)}{\sinh\mu_{k}a} + \left(\mu_{k}a\right)^{2}\,\frac{\cosh\mu_{k}z}{\sinh^{2}\mu_{k}a} - \mu_{k}a\,\frac{\sinh\mu_{k}z}{\sinh^{2}\mu_{k}a}\right] + \\ &+ U_{k}^{(2)}\left[\frac{\sinh\mu_{k}\left(a-z\right)}{\sinh\mu_{k}a} + \left(\mu_{k}a\right)^{2}\,\frac{\cosh\mu_{k}z}{\sinh^{2}\mu_{k}a} - \mu_{k}a\,\frac{\sinh\mu_{k}z}{\sinh^{2}\mu_{k}a}\right] - \\ &- Z_{k}^{(2)}\left[2\,\frac{\cosh\mu_{k}\left(a-z\right)}{\sinh\mu_{k}a} + \left(\mu_{k}a\right)^{2}\,\frac{\sinh\mu_{k}z}{\sinh^{2}\mu_{k}a} + 2\mu_{k}a\,\frac{\cosh\mu_{k}z}{\sinh^{2}\mu_{k}a}\right] + \\ &+ \mu_{k}z\left[\mu_{k}ab_{k}\left(\frac{\cosh\mu_{k}z}{\sinh\mu_{k}a} + \frac{\mu_{k}a}{\sinh\mu_{k}a}\,\frac{\cosh\mu_{k}z}{\sinh\mu_{k}a}\right) - \\ &- \mu_{k}aH_{k}\left(\frac{\cosh\mu_{k}\left(a-z\right)}{\sinh\mu_{k}a} + \frac{\mu_{k}a}{\sinh\mu_{k}a}\,\frac{\cosh\mu_{k}z}{\sinh\mu_{k}a}\right) - \\ &- U_{k}^{(2)}\left(\frac{\cosh\mu_{k}\left(a-z\right)}{\sinh\mu_{k}a} + \frac{\mu_{k}a}{\sinh\mu_{k}a}\,\frac{\sinh\mu_{k}z}{\sinh\mu_{k}a}\right) + \\ &+ Z_{k}^{(2)}\left(\frac{\sinh\mu_{k}\left(a-z\right)}{\sinh\mu_{k}a} + \frac{\mu_{k}a}{\sinh\mu_{k}a}\,\frac{\sinh\mu_{k}z}{\sinh\mu_{k}a}\right) - \\ &- \sum_{k=1}^{\infty} \frac{J_{1}\left(\mu_{k}r\right)}{\mu_{k}a\,\mu_{k}r}\left[1-\left(\frac{\mu_{k}a}{\sinh\mu_{k}a}\right)^{2}\right] \left\{\mu_{k}ab_{k}\left[\left(1-2\nu_{1}\right)\,\frac{\sinh\mu_{k}z}{\sinh\mu_{k}a} + \left(\mu_{k}a\right)^{2}\,\frac{\sinh\mu_{k}z}{\sinh\mu_{k}a}\right] + \\ &+ \mu_{k}a\,H_{k}\left[\left(1-2\nu_{1}\right)\,\frac{\sinh\mu_{k}z}{\sinh\mu_{k}a} + \left(\mu_{k}a\right)^{2}\,\frac{\sinh\mu_{k}z}{\sinh\mu_{k}a}\right] - \\ &- \left(1-2\nu_{1}\right)\mu_{k}a\,\frac{\sinh\mu_{k}z}{\sinh\mu_{k}a} + \left(\mu_{k}a\right)^{2}\,\frac{\sinh\mu_{k}z}{\sinh\mu_{k}a} + \\ &+ \left(\mu_{k}a\right)^{2}\,\frac{\sinh\mu_{k}z}{\sinh^{2}a} - \left(1-2\nu_{1}\right)\mu_{k}a\,\frac{\sinh\mu_{k}z}{\sinh^{2}a} - \\ &- \left(1-2\nu_{1}\right)\frac{\sinh\mu_{k}z}{\sinh^{2}a} - \left(1-2\nu_{1}\right)\mu_{k}a\,\frac{\sinh\mu_{k}z}{\sinh^{2}a} + \\ &+ \left(\mu_{k}a\right)^{2}\,\frac{\sinh\mu_{k}z}{\sinh^{2}a} - \left(1-2\nu_{1}\right)\mu_{k}a\,\frac{\sinh\mu_{k}z}{\sinh^{2}a} + \\ &+ \left(\mu_{k}a\right)^{2}\,\frac{\sinh\mu_{k}z}{\sinh^{2}a} - \left(1-2\nu_{1}\right)\mu_{k}a\,\frac{\sinh\mu_{k}z}{\sinh^{2}a} + \\ &+ \left(\mu_{k}a\right)^{2}\,\frac{\sinh\mu_{k}z}{\sinh^{2}a} - \left(1-2\nu_{1}\right)\mu_{k}a\,\frac{\sinh\mu_{k}z}{\sinh^{2}a} - \\ &- Z_{k}^{(2)}\left[2\left(1-\nu_{1}\right)\,\frac{\sinh\mu_{k}z}{\sinh^{2}a} - 2\left(1-\nu_{1}\right)\mu_{k}a\,\frac{\sinh\mu_{k}z}{\sinh^{2}a} + \\ &+ \left(\mu_{k}a\right)^{2}\,\frac{\sinh\mu_{k}z}{\sinh^{2}a} - \left(1-2\nu_{1}\right)\mu_{k}a\,\frac{\sinh\mu_{k}z}{\sinh^{2}a} - \\ &- Z_{k}^{(2)}\left[2\left(1-\nu_{1}\right)\,\frac{\sinh\mu_{k}z}{\sinh^{2}a} - 2\left(1-\nu_{1}\right)\mu_{k}a\,\frac{\sinh\mu_{k}z}{\sinh^{2}a} - \\ &+ \left(\mu_{k}a\right)^{2}\,\frac{\sinh\mu_{k}z}{\sinh^{2}a} - \frac{\sinh\mu_{k}z}{$$

$$\begin{split} &-\mu_{k}a\,H_{k}\left(\frac{\operatorname{ch}\,\mu_{k}\,(a-z)}{\operatorname{sh}\,\mu_{k}a} + \mu_{k}a\,\frac{\operatorname{ch}\,\mu_{k}z}{\operatorname{sh}^{2}\mu_{k}a}\right) - \\ &-U_{k}^{(2)}\left(\frac{\operatorname{ch}\,\mu_{k}\,(a-z)}{\operatorname{sh}\,\mu_{k}a} + \mu_{k}a\,\frac{\operatorname{ch}\,\mu_{k}z}{\operatorname{sh}^{2}\mu_{k}a}\right) + \\ &+ Z_{k}^{(2)}\left(\frac{\operatorname{sh}\,\mu_{k}\,(a-z)}{\operatorname{sh}\,\mu_{k}a} + \mu_{k}a\,\frac{\operatorname{sh}\,\mu_{k}z}{\operatorname{sh}^{2}\mu_{k}a}\right) \Big\} \\ &+ Z_{k}^{(2)}\left(\frac{\operatorname{sh}\,\mu_{k}\,(a-z)}{\operatorname{sh}\,\mu_{k}a} + \mu_{k}a\,\frac{\operatorname{sh}\,\mu_{k}z}{\operatorname{sh}\,\mu_{k}a}\right) \Big\} \Big\} \\ &+ Z_{k}^{(2)}\left(\frac{\operatorname{sh}\,\mu_{k}\,(a-z)}{\operatorname{sh}\,\mu_{k}a} + \mu_{k}a\,\frac{\operatorname{sh}\,\mu_{k}z}{\operatorname{sh}\,\mu_{k}a}\right) \Big\} \Big\} \\ &+ Z_{k}^{(2)}\left(\frac{\operatorname{sh}\,\mu_{k}\,(a-z)}{\operatorname{sh}\,\mu_{k}a} - \mu_{k}a\,\operatorname{cth}\,\mu_{k}\,a\,\frac{\operatorname{sh}\,\mu_{k}z}{\operatorname{sh}\,\mu_{k}a} - 2\mu_{k}a\,\frac{\operatorname{ch}\,\mu_{k}z}{\operatorname{sh}\,\mu_{k}a}\right) + \\ &+ U_{k}^{(2)}\left[\frac{\operatorname{sh}\,\mu_{k}\,(a+z)}{\operatorname{sh}\,\mu_{k}a} + (\mu_{k}a)^{2}\,\frac{\operatorname{ch}\,\mu_{k}z}{\operatorname{sh}^{2}\mu_{k}a} + \mu_{k}a\,\frac{\operatorname{sh}\,\mu_{k}z}{\operatorname{sh}^{2}\mu_{k}a}\right] + \\ &+ Z_{k}^{(2)}\left[2\,\frac{\operatorname{ch}\,\mu_{k}\,(a+z)}{\operatorname{sh}\,\mu_{k}a} - (\mu_{k}a)^{2}\,\frac{\operatorname{sh}\,\mu_{k}z}{\operatorname{sh}^{2}\mu_{k}a} - 2\mu_{k}a\,\frac{\operatorname{sh}\,\mu_{k}z}{\operatorname{sh}^{2}\mu_{k}a}\right] + \\ &+ \mu_{k}z\left[\mu_{k}aN_{k}\left(-\frac{\operatorname{ch}\,\mu_{k}z}{\operatorname{sh}\,\mu_{k}a} - \mu_{k}a\,\frac{\operatorname{ch}\,\mu_{k}z}{\operatorname{sh}^{2}\mu_{k}a}\right) + \\ &+ U_{k}^{(2)}\left(\frac{\operatorname{ch}\,\mu_{k}\,(a+z)}{\operatorname{sh}\,\mu_{k}a} + \mu_{k}a\,\frac{\operatorname{ch}\,\mu_{k}z}{\operatorname{sh}^{2}\mu_{k}a}\right) + \\ &+ Z_{k}^{(2)}\left(\frac{\operatorname{ch}\,\mu_{k}\,(a+z)}{\operatorname{sh}\,\mu_{k}a} - \mu_{k}a\,\frac{\operatorname{ch}\,\mu_{k}z}{\operatorname{sh}^{2}\mu_{k}a}\right) + \\ &+ Z_{k}^{(2)}\left(\frac{\operatorname{sh}\,\mu_{k}\,(a+z)}{\operatorname{sh}\,\mu_{k}a} - \mu_{k}a\,\frac{\operatorname{sh}\,\mu_{k}z}{\operatorname{sh}^{2}\mu_{k}a}\right) + \\ &+ Z_{k}^{(2)}\left(\frac{\operatorname{sh}\,\mu_{k}\,a}{\operatorname{sh}\,\mu_{k}a} - 2\left(1-v_{1}\right)\mu_{k}a\,\frac{\operatorname{ch}\,\mu_{k}z}{\operatorname{sh}^{2}\mu_{k}a}\right) + \\ &+ Z_{k}^{(2)}\left(\frac{\operatorname{sh}\,\mu_{k}\,a}{\operatorname{sh}\,\mu_{k}a} - 2\left(1-v_{1}\right)\mu_{k}a\,\frac{\operatorname{ch}\,\mu_{k}a}{\operatorname{sh}\,\mu_{k}a} + \\ &+ U_{k}^{(2)}\left(\frac{\operatorname{ch}\,\mu_{k}z}{\operatorname{sh}^{2}\mu_{k}a}\right) - Z_{k}^{(2)}\left[-2\left(1-v_{1}\right)\frac{\operatorname{ch}\,\mu_{k}z}{\operatorname{sh}\,\mu_{k}a} + \\ &+ \left(1-2v_{1}\right)\mu_{k}a\,\frac{\operatorname{sh}\,\mu_{k}z}{\operatorname{sh}^{2}\mu_{k}a} + 2\left(1-v_{1}\right)\mu_{k}a\,\frac{$$

$$+ \mu_{k}z \left[\mu_{k}aN_{k} \left(-\frac{\operatorname{ch}\mu_{k}z}{\operatorname{sh}\mu_{k}a} - \mu_{k}a \frac{\operatorname{ch}\mu_{k}(a+z)}{\operatorname{sh}^{2}\mu_{k}a} \right) + \right. \\ + U_{k}^{(2)} \left(\frac{\operatorname{ch}\mu_{k}(a+z)}{\operatorname{sh}\mu_{k}a} + \mu_{k}a \frac{\operatorname{ch}\mu_{k}z}{\operatorname{sh}^{2}\mu_{k}a} \right) + \\ + U_{k}^{(2)} \left(\frac{\operatorname{sh}\mu_{k}(a+z)}{\operatorname{sh}\mu_{k}a} - \mu_{k}a \frac{\operatorname{sh}\mu_{k}z}{\operatorname{sh}^{2}\mu_{k}a} \right) \right] \right\}$$
 (2.14)
$$+ \left. + Z_{k}^{(2)} \left(\frac{\operatorname{sh}\mu_{k}(a+z)}{\operatorname{sh}\mu_{k}a} - \mu_{k}a \frac{\operatorname{sh}\mu_{k}z}{\operatorname{sh}^{2}\mu_{k}a} \right) \right] \right\}$$
 (2.14)
$$+ \left. + Z_{k}^{(2)} \left(\frac{\operatorname{sh}\mu_{k}(a+z)}{\operatorname{sh}\mu_{k}a} - \mu_{k}a \frac{\operatorname{sh}\mu_{k}z}{\operatorname{sh}^{2}\mu_{k}a} \right) \right]$$

$$+ \left. + \sum_{k=1}^{\infty} \frac{J_{0}(\mu_{k}r)}{\mu_{k}^{2}a} \left[1 - \left(\frac{\mu_{k}a}{\operatorname{sh}\mu_{k}a} \right)^{2} \right] \right. \left. \left\{ \mu_{k}ab_{k} \left[2\left(1 - \nu_{1} \right) \frac{\operatorname{ch}\mu_{k}z}{\operatorname{sh}\mu_{k}a} - \left(1 - 2\nu_{1} \right) \mu_{k}a \frac{\operatorname{sh}\mu_{k}z}{\operatorname{sh}\mu_{k}a} \right) \right. \right.$$

$$- \left. - \left. \mu_{k}aH_{k} \left[2\left(1 - \nu_{1} \right) \frac{\operatorname{ch}\mu_{k}(a-z)}{\operatorname{sh}\mu_{k}a} + \left(\mu_{k}a \right)^{2} \frac{\operatorname{sh}\mu_{k}z}{\operatorname{sh}^{2}\mu_{k}a} \right. \right.$$

$$+ \left. + \left(2 - \nu_{1} \right) \mu_{k}a \frac{\operatorname{ch}\mu_{k}z}{\operatorname{sh}^{2}\mu_{k}a} \right. - \left. U_{k}^{(2)} \left[2\left(1 - \nu_{1} \right) \frac{\operatorname{ch}\mu_{k}(a-z)}{\operatorname{sh}\mu_{k}a} + \left(\mu_{k}a \right)^{2} \frac{\operatorname{sh}\mu_{k}a}{\operatorname{sh}^{2}\mu_{k}a} \right. \right.$$

$$+ \left. + \left(1 - 2\nu_{1} \right) \mu_{k}a \frac{\operatorname{ch}\mu_{k}z}{\operatorname{sh}^{2}\mu_{k}a} \right. + \left(\mu_{k}a \right)^{2} \frac{\operatorname{ch}\mu_{k}z}{\operatorname{sh}^{2}\mu_{k}a} \right. + \left. \mu_{k}z \left[\mu_{k}ab_{k} \left(\frac{\operatorname{sh}\mu_{k}z}{\operatorname{sh}^{2}\mu_{k}a} - \left(1 - 2\nu_{1} \right) \frac{\operatorname{sh}\mu_{k}(a-z)}{\operatorname{sh}^{2}\mu_{k}a} \right) \right.$$

$$+ \left. + \left(1 - 2\nu_{1} \right) \mu_{k}a \frac{\operatorname{sh}\mu_{k}z}{\operatorname{sh}^{2}\mu_{k}a} \right. + \left(\mu_{k}a \right)^{2} \frac{\operatorname{ch}\mu_{k}z}{\operatorname{sh}^{2}\mu_{k}a} \right. + \mu_{k}z \left[\mu_{k}ab_{k} \left(\frac{\operatorname{sh}\mu_{k}z}{\operatorname{sh}^{2}\mu_{k}a} - \left(1 - 2\nu_{1} \right) \frac{\operatorname{sh}\mu_{k}}a \right) \right.$$

$$+ \left. + \left(1 - 2\nu_{1} \right) \mu_{k}a \frac{\operatorname{sh}\mu_{k}z}{\operatorname{sh}^{2}\mu_{k}a} \right. + \left(\mu_{k}a\right)^{2} \frac{\operatorname{ch}\mu_{k}z}{\operatorname{sh}^{2}\mu_{k}a} - \mu_{k}a \frac{\operatorname{sh}\mu_{k}z}{\operatorname{sh}^{2}\mu_{k}a} \right) +$$

$$+ \left. + \left(1 - 2\nu_{1} \right) \mu_{k}a \frac{\operatorname{ch}\mu_{k}z}{\operatorname{sh}^{2}\mu_{k}a} - \mu_{k}a \frac{\operatorname{sh}\mu_{k}z}{\operatorname{sh}^{2}\mu_{k}a} \right) +$$

$$+ \left. + \left(2^{(2)} \left(\mu_{k}a \frac{\operatorname{ch}\mu_{k}z}{\operatorname{sh}^{2}\mu_{k}a} - \mu_{k}a \frac{\operatorname{sh}\mu_{k}z}{\operatorname{sh}^{2}\mu_{k}a} \right) \right. \right.$$

$$+ \left. + \left(2^{(2)} \left(\mu_{k}a \frac{\operatorname{ch}\mu_{k}z}{\operatorname{sh}^{2}\mu_{k}a} - \mu_{k}a \frac{\operatorname{ch}\mu_{k}z}{\operatorname$$

$$-2 (1 - v_1) \mu_k a \operatorname{cth} \mu_k a \frac{\operatorname{ch} \mu_k z}{\operatorname{sh} \mu_k a} - (1 - 2v_1) \mu_k a \frac{\operatorname{sh} \mu_k z}{\operatorname{sh} \mu_k a} + U_k^{(2)} \left[2 (1 - v_1) \frac{\operatorname{ch} \mu_k (a + z)}{\operatorname{sh} \mu_k a} - (\mu_k a)^2 \frac{\operatorname{sh} \mu_k z}{\operatorname{sh}^2 \mu_k a} + \right. \\ + 2 (1 - v_1) \mu_k a \frac{\operatorname{ch} \mu_k z}{\operatorname{sh}^2 \mu_k a} \right] + Z_k^{(2)} \left[(1 - 2v_1) \frac{\operatorname{sh} \mu_k (a + z)}{\operatorname{sh} \mu_k a} - \right. \\ - (1 - 2v_1) \mu_k a \frac{\operatorname{sh} \mu_k z}{\operatorname{sh}^2 \mu_k a} + (\mu_k a)^2 \frac{\operatorname{ch} \mu_k z}{\operatorname{sh}^2 \mu_k a} \right] - \\ - \mu_k z \left[\mu_k a N_k \left(- \frac{\operatorname{sh} \mu_k z}{\operatorname{sh} \mu_k a} - \mu_k a \frac{\operatorname{sh} \mu_k (a + z)}{\operatorname{sh}^2 \mu_k a} \right) + \right. \\ + U_k^{(2)} \left(\frac{\operatorname{sh} \mu_k (a + z)}{\operatorname{sh} \mu_k a} + \mu_k a \frac{\operatorname{sh} \mu_k z}{\operatorname{sh}^2 \mu_k a} \right) + \\ + Z_k^{(2)} \left(\frac{\operatorname{ch} \mu_k (a + z)}{\operatorname{sh} \mu_k a} - \mu_k a \frac{\operatorname{ch} \mu_k z}{\operatorname{sh}^2 \mu_k a} \right) \right] \right\}.$$
 (2.16)

Постоянную величину G определяем из условия $w_2(R, -a) = 0$

$$\begin{split} \frac{G}{a} &= -\frac{Q}{4\left(1-\nu_{1}\right)\pi R^{2}} - \frac{1}{2(1-2\nu_{1})}\sum_{k=1}^{\infty} \frac{1}{1-\left(\frac{\mu_{k}a}{\sinh\mu_{k}a}\right)^{2}} \times \\ &\times \left\{-N_{k}2\left(1-\nu_{1}\right)\left[\frac{\coth\mu_{k}a}{\mu_{k}a} + \frac{1}{\sinh^{2}\mu_{k}a}\right] + \right. \\ &+ U_{k}^{(2)}2\left(1-\nu_{1}\right)\frac{1}{\mu_{k}a\sinh\mu_{k}a}\left(\frac{1}{\mu_{k}a} + \coth\mu_{k}a\right) + Z_{k}^{(2)}2\left(1-\nu_{1}\right)\frac{1}{\mu_{k}a\sinh\mu_{k}a}\right\}. \end{split}$$

Некоторые значения напряжения $\sigma_r^{(i)}$ и перемещения w_i (i=1, 2), вычисленные по формулам (2.13)—(2.16) для различных точек плиты при v_1 = 0,3, μ_1/μ_2 = 1/2, в зависимости от отношений σ/R и σ/R приведены в таблицах 1 и 2.

В этих таблицах напряжения $\sigma_r^{(i)}$ (i=1, 2) приведены в долях $K=q\left(\frac{a}{R}\right)^2=\frac{Q}{\pi R^2}$, а перемещения w_i (i=1, 2)— в долях $K_1=\frac{qa}{\mu_1}\left(\frac{a}{R}\right)^2=\frac{Qa}{\mu_1\pi R^2}$.

При вычислениях было использовано значение ряда

$$\sum_{k=1}^{\infty} \frac{J_1(\mu_k \varepsilon)}{\mu_k J_0^2(\mu_k R)} = \frac{\varepsilon}{2} \left(\frac{R^2}{\varepsilon^2} - 1 \right), \quad \text{rge} \quad 0 < \varepsilon \leqslant R. \quad (2.18)$$

Таблица 1

	$\frac{a}{R}$	E/R				
		1	1/2	1/4	0	
$a_r^{(1)}(0, a)/K$	1/2 1/6	-3,5657 -14,7828	-8,8253 -46,3044	-21,0670 -69,4796		
$a_r^{(1)}\left(0, \frac{a}{2}\right)/K$	1/2 1/6	-2,0117 -10,1126	-4,2441 -30,2839	-4,3394 -40,2515	$ \begin{array}{r} -5,2609 \\ -66,7423 \end{array} $	
$a_r^{(1)}(0,0)/K$	1/2 1/6	$-1.0014 \\ -4.8167$	-1,4664 -14,9783	-1,5834 $-18,2499$	-1,7675 $-25,2530$	
$\sigma_r^{(2)}(0, 0)/K$	1/2 1/6	$-1.9491 \\ -8.7191$	$-2,9986 \\ -26,4318$	-3,1712 -33,4057	-3,7708 -43,2931	
$o_r^{(2)}\left(0,-\frac{a}{2}\right)/K$	1/2 1/6	0,0001 2,1479	0,6379 4,1122	0,7315 13,0720	0,8773 14,9273	
$\sigma_r^{(2)}(0,-a)/K$	1/2 1/6	1,6566 12,8003	2,8037 33,2209	3,4192 38,4687	3,6625 48,7486	

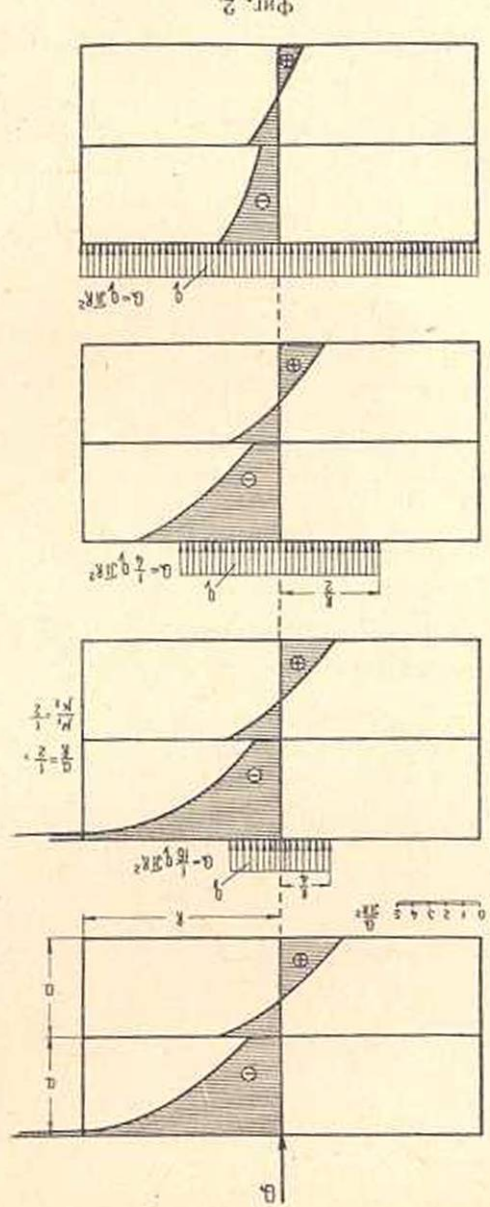
Таблица 2

	$\frac{a}{R}$	e/R				
No.		1	1/2	1/4	0	
$w_1(0, a)/K_1$	1/2 1/6	-0,7987 -11,1000	$-1,7622 \\ -12,7498$	-4,3840 -14,5660	=	
$w_1(0, 0)/K_1$	1/2 1/6	-0,5750 -7,5767	$-1,0908 \\ -10,0771$	-1,2366 $-10,4252$	-1,2763 $-13,8815$	
$w_2(0, -a)/K_1$	1/2 1/6	-0,1708 -5,5341	-0,3485 7,5756	-0,4166 -8,1601	-0,4801 -9,3091	
$w_i(R, a)/K_i$	1/2 1/6	$ \begin{array}{r} -0,4114 \\ -8,0118 \end{array} $	-0,4165 -8,5131	-0,7307 -9,0659	=	
$w_1(R, 0)/K_1$	1/2	-0,3523 -7,1494	-0,3584 7,3336	-0,5467 -8,7855	-0,5530 -8,9339	

Для наглядного представления закона распределения нормальных напряжений с, вдоль оси плиты на фигурах 2 и 3 приведены эпюры этих напряжений. Следует отметить, что приведенные эпюры составлены приближенно: на основании расчетов, произведенных только для пяти точек оси.

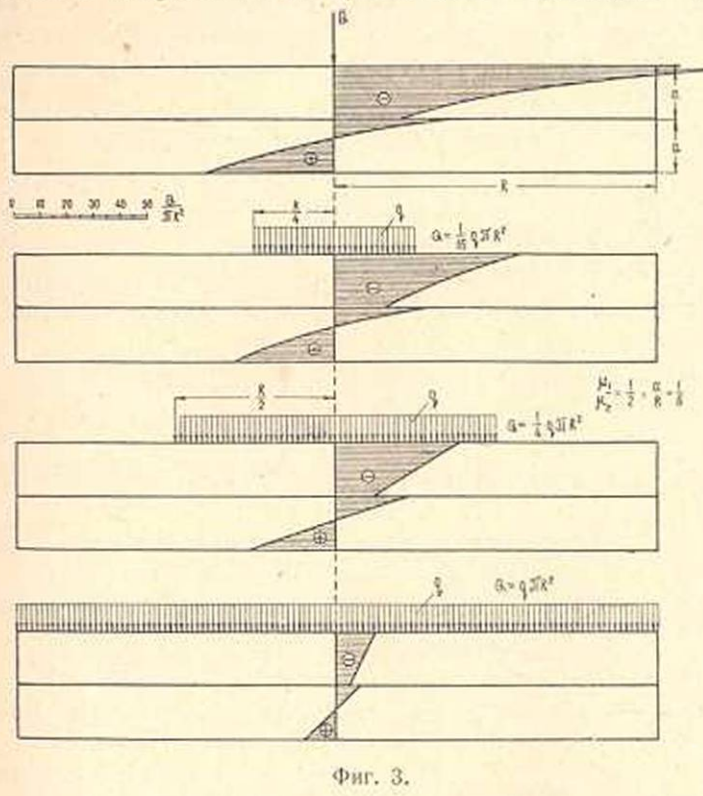
Как показывают произведенные вычисления для случая $\frac{a}{R} = \frac{1}{6}$ (табл. 1) и построенные графики (фиг. 3), закон распределения нормальных напряжений по высоте плиты при z = R, $\frac{R}{2}$ качественно совпадает с законом распределения соответствующего напряжения по теории тонких плит.

Закон распределения нормальных напряжений по высоте плиты, вычисленных по теории тонких плит, дает существенные отклонения от действительного закона в случаях нагрузок, распределенных помалой площади ($\varepsilon = \frac{R}{4}$), и сосредоточенной силы ($\varepsilon = 0$).



Фиг. 2.

В случае $\frac{a}{R} = \frac{1}{2}$ (фиг. 2), как и следовало ожидать, закон распределения напряжений σ_r существенно отличается от соответ-



ствующего закона, получаемого в теории тонких плит при любых нагрузках.

Институт математики и механики АН Армянской ССР

Поступила 19 X 1962

U. Հ. Բաբլոյան, Վ. U. Ցոնոյան

ԱՌԱՆՑՔԻ ՆԿԱՏՄԱՄԲ ՍԻՄԵՑՐԻԿ ԲԵՌՈՎ ZԱՍՏ ԿԼՈՐ ԵՐԿՇԵՐՏ ՍԱԼԵՐԻ ԾՌՈՒՄԸ

U. U on on b U

Հոդվածում դիտարկված է հաստ կլոր երկչերտ սալի ծռման խնդիրը, երբ բեռը կամավոր ձևով կիրառված է սալի հիմբերին։ Կողմնային մակերևույթը , վրա տրված են կամայապես ռադիալ տեղափոխումները և շոշափող լարումները։ Սալը ենթադրվում է ամրացված այնպես, որ նրա կողմնային մակերևույթի մի շրջանագծի վրա կամ առանցքի մի որևէ կետում բացակայում են առանցքի ուղղությամբ տեղափոխումները։ Շերտերի նյութերն ունեն առանձ.

գականության և Պուասոնի տարբեր դործակիցներ։ Խնդիրը լուծվում է Ֆուրյեխ հղանակով, առանձգականության տեսության հիմնական հավասարումներից ելնելով, առանց որևէ կինեմատիկական հիպոթեզի (տե՛ս [1—2] աշխատությունները)։ Մասնավորապես լուծված է հաստ կլոր երկշերտ սալի ծռման ինդիրը, երբ սալը ծռվում է նորմալ առանցթասիմեարիկ բեռով կիրառված նրա վերևի հիմքի վրա, երբ բացակայում է ռադիալ տեղափոխումը ամբողջ կողմնային մակերևույթի վրա և առանցջային տեղափոխումը այդ նույն մակերևույթի ներջևի շրջանագծի վրա։ Մասնավոր դեպքում, երբ շերտերից որևէ մեկի հաստությունը հավասարեցվում է զերոյի, ստացվում է առանցջի նկատմամբ սիմետրիկ բեռով հաստ կլոր սալի ծռման խնդրի լուծումը, որը դիտարկված է Բ. Լ. Արրահամյանի և Ա. Հ. Բաբլոյանի (3) աշխատության մեջ։

Նման խնդիր դիտարկված է հղել Ա. Պ. Մելբոնյանի [4] աշխատությունում, որտեղ սալի կողմնային մակերևույթի վրա բավարարում են մեղմացված

եզրային պայմանները։

Վերջում բերված է թվային օրինակ։

ЛИТЕРАТУРА

- Абрамян Б. Л. К задаче осесимметричной деформации круглого цилиндра. ДАН АрмССР, 19, № 1, 1954, 3—12.
- Абрамян Б. Л. Некоторые задачи равновесия круглого цилипдра. ДАН АрмССР, 26, № 2, 1958, 65—72.
- Абрамян Б. Л., Баблоян А. А. К изгибу толстых круглых плит осесимметричной нагрузкой. Известия АН АрмССР, серия фил.-мат. наук, 11, № 4, 1958, 96—106.
- Мелконян А. П. Осесимметричный изгиб двухслойной толстой круглой плиты. Сборник ваучных трудов Ереванского политехнического института им. К. Маркса, № 20, 1959, 169—190.
- 5. Тимошенко С. П. Теория упругости. ОНТИ, М., 1937.
- 6. Лурье А. И. Пространственные задачи теории упругости. Гостехиздат, М., 1955.
- Мусхелишвили Н. И. Некоторые основные задачи математической теории упругости. М.—Л., изд. АН СССР, 1949.
- Грей Э., Мэтьюз Г. Функции Бесселя и их приложения к физике и механике. Гостехиздат, М., 1949.
- Ватсон Г. Н. Теория бесселевых функций, ч. 1. И.Л., М., 1949.